

Máster Universitario en  
Nuevas Tecnologías en Informática

Asignatura “Visión Artificial”

# Geometría Proyectiva II

*Structure from motion:*

Geometría Epipolar

Autocalibración

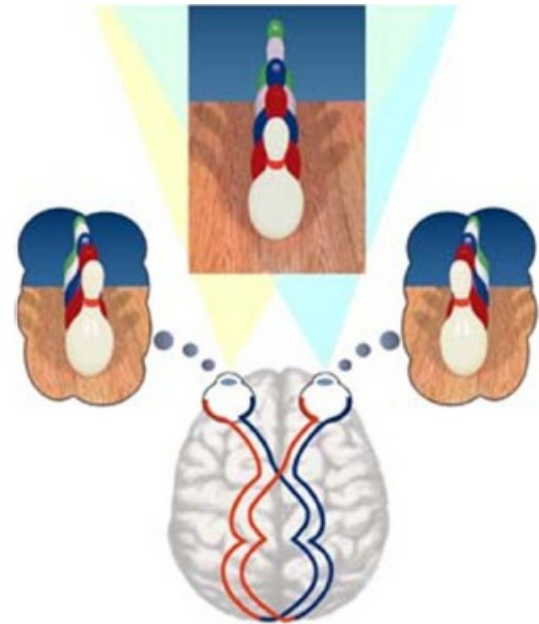
Obtención de estructura 3D

Reconstrucción densa

Facultad de Informática  
Universidad de Murcia  
Curso 2018/19

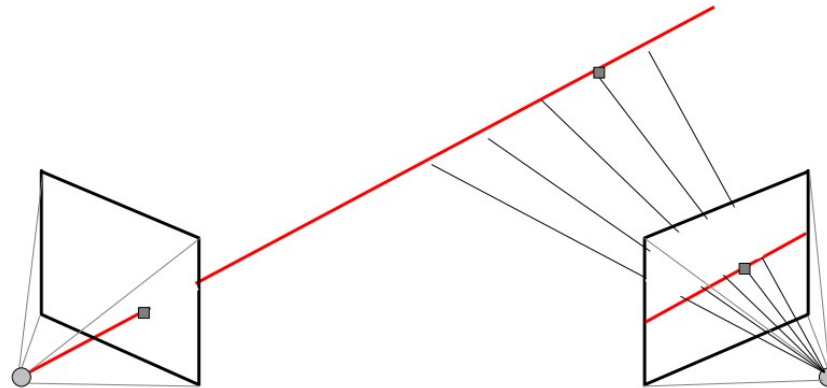
# Introducción

- Objetivo:
  - Recuperar información de “profundidad” (estructura 3D de la escena) a partir de dos (o más) imágenes:
  - Fácil si se conoce totalmente la calibración (extrínseca e intrínseca) de las cámaras...
  - ... pero también se puede hacer bajo ciertas circunstancias aunque no se conozca dicha información a priori.

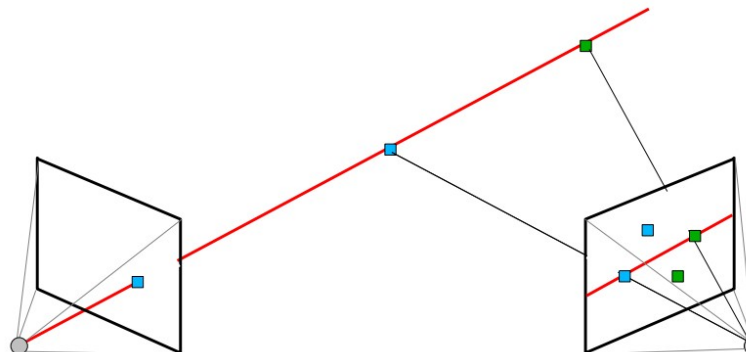


# Restricción epipolar (I)

- Dado un punto 3D, cuya proyección 2D conocemos en la imagen izquierda → su proyección en la imagen derecha ha de estar forzosamente en una línea (**recta epipolar**):

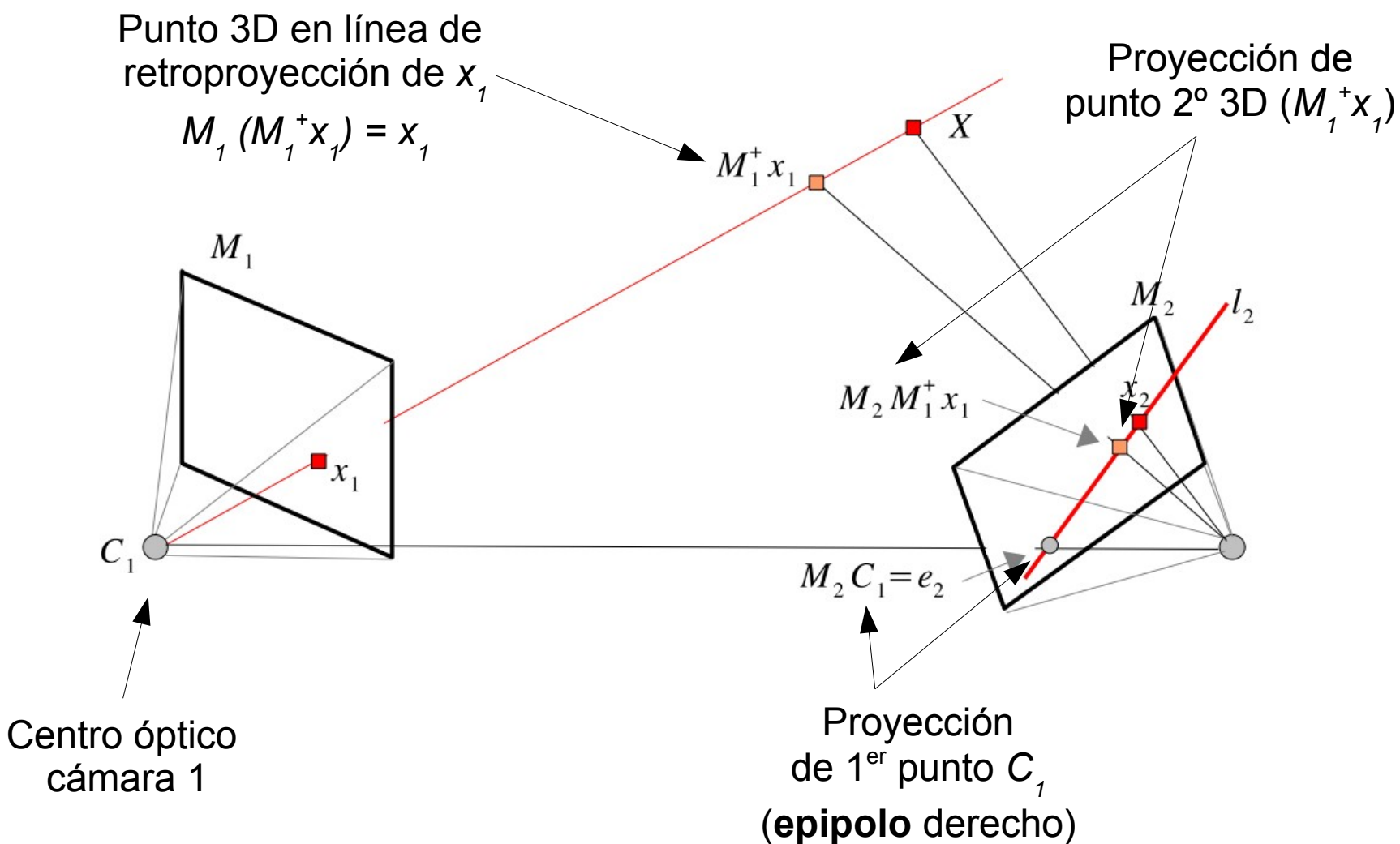


- → Esto restringe la zona en la que buscar *matchings*:



# Restricción epipolar (II)

- ¿Cuál es la recta epipolar  $l_2$  correspondiente al punto  $x_1$ ?



# Matriz fundamental (I)

- $l_2$  por tanto, es la recta que pasa por la proyección de dicho par de puntos 3D en la imagen 2 (*cross product*):

$$l_2 = e_2 \times M_2 M_1^+ x_1$$

- Y por tanto  $x_2$  debe pasar por dicho  $l_2$ , es decir:

$$x_2^T l_2 = x_2^T \underbrace{e_2 \times M_2 M_1^+}_{F} x_1 = 0$$

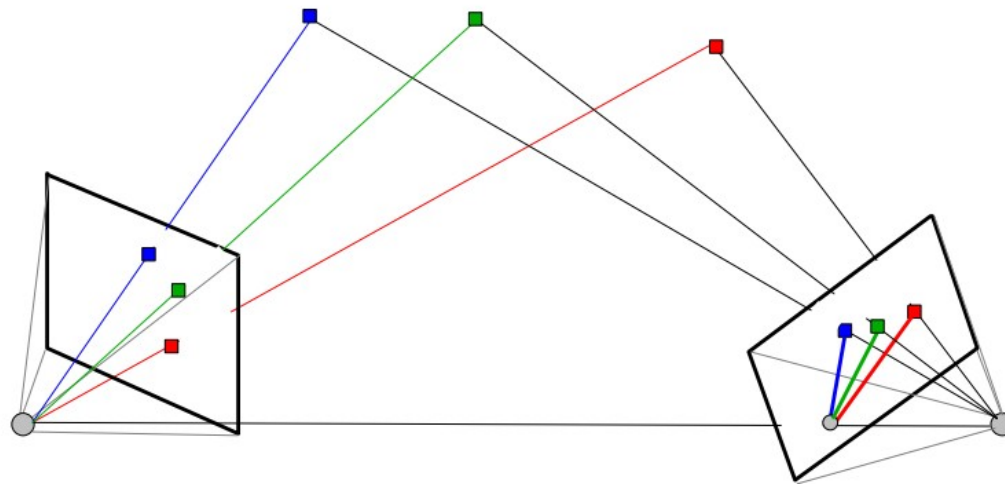
- Si recordamos que  $[v]_{\times} x = v \times x$ , entonces:

$$\boxed{x_2^T F x_1 = 0} \quad \text{con} \quad \boxed{F = [e_2]_{\times} M_2 M_1^+} \quad \text{y} \quad \begin{bmatrix} a \\ b \\ c \end{bmatrix}_{\times} = \begin{bmatrix} 0 & -c & b \\ c & 0 & -a \\ -b & a & 0 \end{bmatrix}$$

↑ Restricción epipolar
 ↑ Matriz fundamental
 ↑ Cross product matrix

# Matriz fundamental (II)

- Todas las líneas epipolares de la imagen derecha pasan por el correspondiente epipolo  $e_2$ , independientemente del punto  $x_1$  del que vengan:



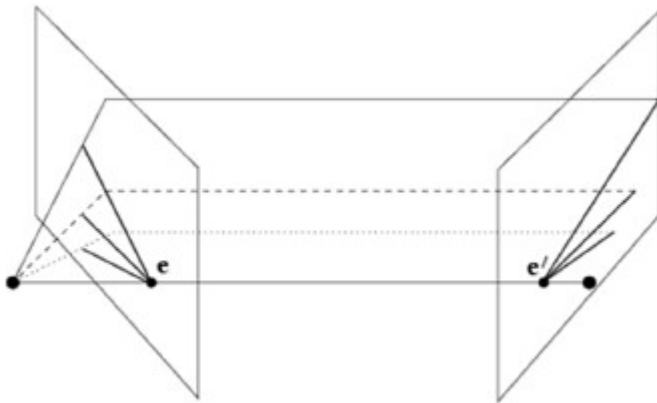
- Por ello, para todo  $x_1$  se cumple que  $e_2^T F x_1 = 0$  ; es decir que, forzosamente:

$$e_2^T F = 0^T$$

El epipolo derecho es  
justamente el espacio  
nulo de  $F^T$  ( $F^T e_2 = 0$ )

# Líneas epipolares (I)

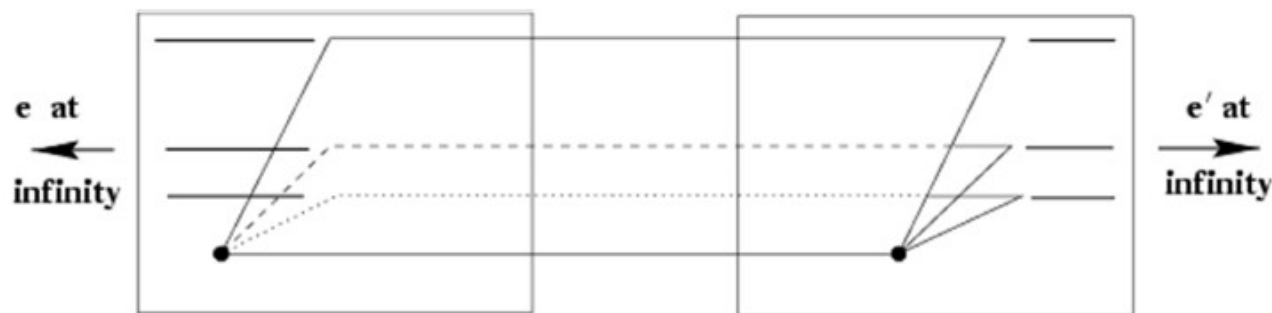
- Ejemplo real:
  - Comprobar visualmente cómo en cada par de líneas epipolares correspondientes han de estar todas las correspondencias de puntos:



- (en este caso ambos epipolos “caen fuera” de la imagen)

# Líneas epipolares (II)

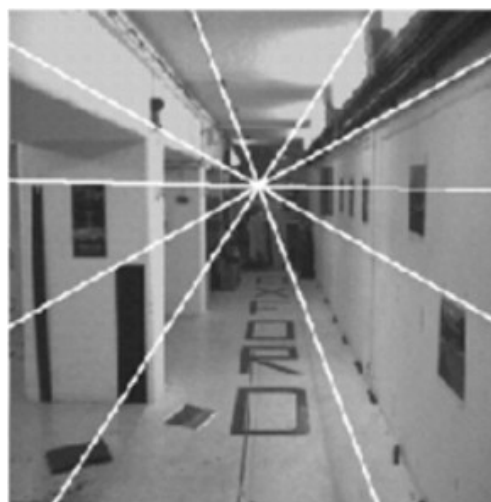
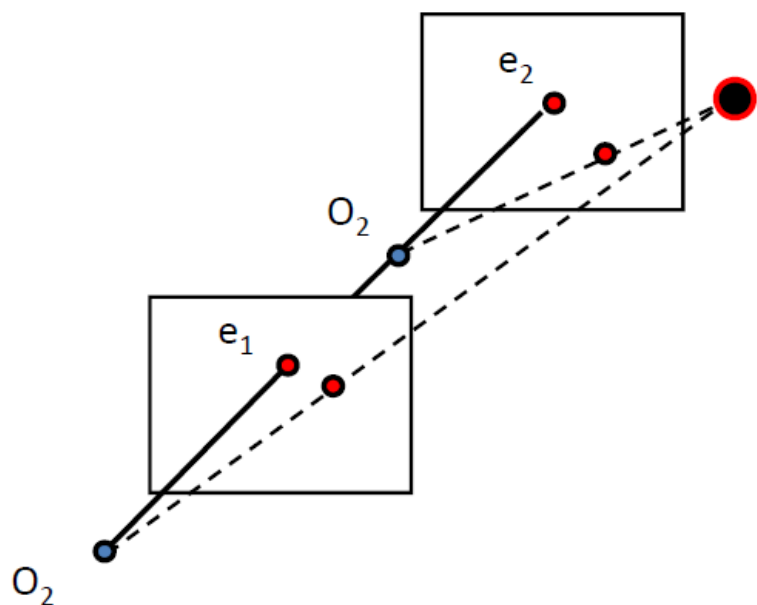
- Otro ejemplo: planos de imagen alineados:
  - Las líneas epipolares generadas son paralelas
  - Los epipolos caen en el infinito





# Líneas epipolares (III)

- Un tercer ejemplo: traslación pura (sin rotación)
  - Las líneas epipolares convergen en un “foco de expansión”, correspondiente al epipolo (que cae en la misma posición en ambas imágenes):



# Cómputo de F

- Para cada *matching*  $\mathbf{p}=(u,v,1)^T \leftrightarrow \mathbf{p}'=(u',v',1)^T$ , usando la restricción epipolar  $\mathbf{p}^T \mathbf{F} \mathbf{p}'=0$ , podemos obtener una ecuación (homogénea) para los 9 coeficientes de  $\mathbf{F}$  ( $F_{11}, \dots, F_{33}$ ):  

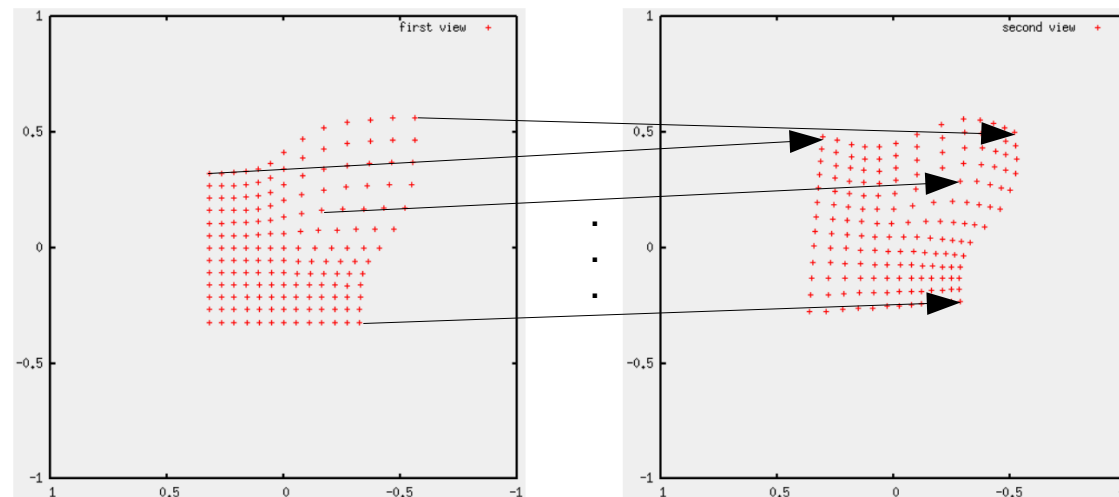
$$\mathbf{p}^T \mathbf{F} \mathbf{p}' = 0 \quad \Rightarrow$$

$$(u, v, 1) \begin{pmatrix} F_{11} & F_{12} & F_{13} \\ F_{21} & F_{22} & F_{23} \\ F_{31} & F_{32} & F_{33} \end{pmatrix} \begin{pmatrix} u' \\ v' \\ 1 \end{pmatrix} = 0$$

$$\Rightarrow (uu', uv', u, vu', vv', v, u', v', 1) \begin{pmatrix} F_{11} \\ F_{12} \\ F_{13} \\ F_{21} \\ F_{22} \\ F_{23} \\ F_{31} \\ F_{32} \\ F_{33} \end{pmatrix} = 0$$

# Algoritmo de los 8 puntos (I)

- Análogamente a lo que ocurría en la estimación de las homografías, hay 9 incógnitas, pero por el factor de homogeneidad sólo hay  $9-1=8$  gdl.
- Puesto que cada correspondencia induce ahora 1 ecuación (no 2 como en la estimación de  $H$ )...
- ... hacen falta al menos 8 correspondencias para resolver y obtener una  $F$  completa (no 4 como para estimar una  $H$ ):



# Algoritmo de los 8 puntos (II)

- Queda entonces un sistema homogéneo que se resuelve igual que hacíamos en el tema anterior para H (SVD, eigendecomposition, ...):

$$\mathbf{W} \begin{pmatrix} u_1 u'_1 & u_1 v'_1 & u_1 & v_1 u'_1 & v_1 v'_1 & v_1 & u'_1 & v'_1 & 1 \\ u_2 u'_2 & u_2 v'_2 & u_2 & v_2 u'_2 & v_2 v'_2 & v_2 & u'_2 & v'_2 & 1 \\ u_3 u'_3 & u_3 v'_3 & u_3 & v_3 u'_3 & v_3 v'_3 & v_3 & u'_3 & v'_3 & 1 \\ u_4 u'_4 & u_4 v'_4 & u_4 & v_4 u'_4 & v_4 v'_4 & v_4 & u'_4 & v'_4 & 1 \\ u_5 u'_5 & u_5 v'_5 & u_5 & v_5 u'_5 & v_5 v'_5 & v_5 & u'_5 & v'_5 & 1 \\ u_6 u'_6 & u_6 v'_6 & u_6 & v_6 u'_6 & v_6 v'_6 & v_6 & u'_6 & v'_6 & 1 \\ u_7 u'_7 & u_7 v'_7 & u_7 & v_7 u'_7 & v_7 v'_7 & v_7 & u'_7 & v'_7 & 1 \\ u_8 u'_8 & u_8 v'_8 & u_8 & v_8 u'_8 & v_8 v'_8 & v_8 & u'_8 & v'_8 & 1 \end{pmatrix} \begin{pmatrix} F_{11} \\ F_{12} \\ F_{13} \\ F_{21} \\ F_{22} \\ F_{23} \\ F_{31} \\ F_{32} \\ F_{33} \end{pmatrix} = 0$$

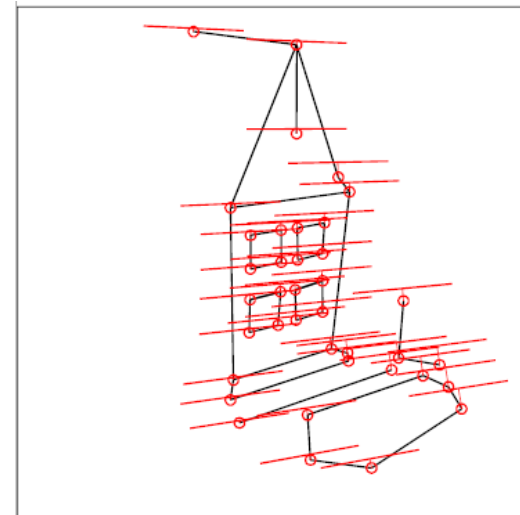
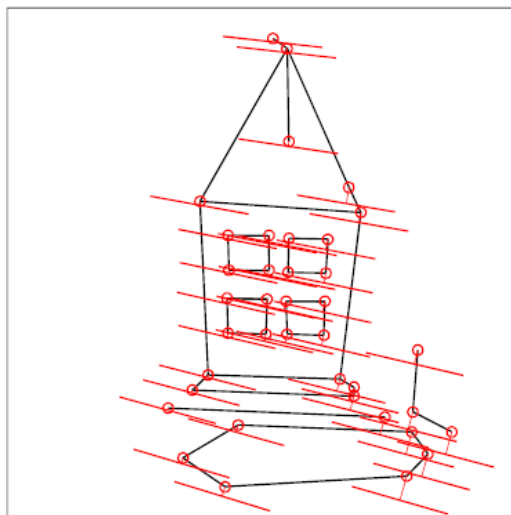
$\mathbf{f}$

- Todo lo que allí aplicábamos vale también aquí:
  - Si hay más de 8 correspondencias → **mínimos cuadrados**.
  - Conveniente **prenormalizar** coordenadas de entrada (para evitar problemas numéricos).

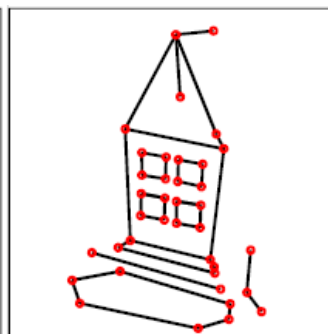
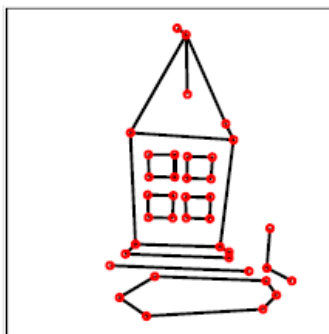
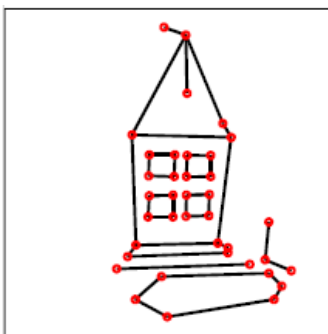
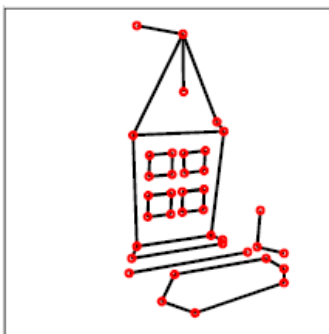
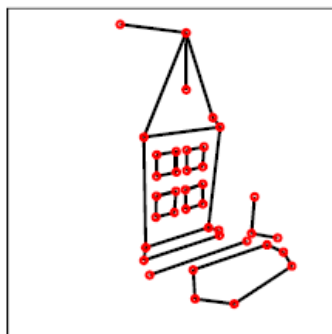
# Ejemplo de estimación de $F$ (I)



Extracción de features  
(sólo imagen izquierda)



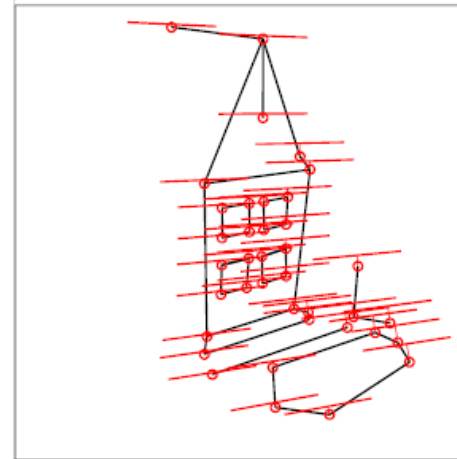
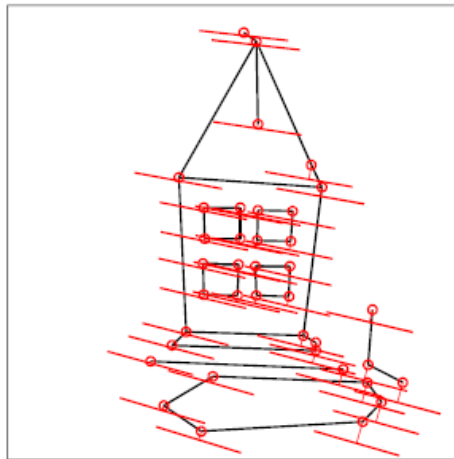
Líneas epipolares para la  $F$   
obtenida (cada  $l'=Fx$ , y  $l=F^T x'$ )



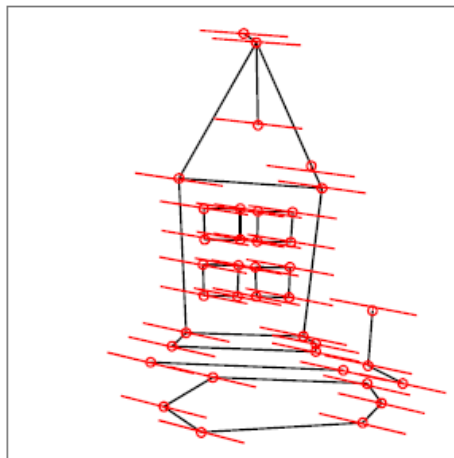
Reconstrucción 3D obtenida, vista desde otros lugares  
(veremos más adelante cómo se realiza)

# Ejemplo de estimación de F (II)

- Influencia de la normalización:



Sin normalización  
(errores medios  
9~10 píxeles)



Con normalización  
(errores medios ~1  
píxel)

# Propiedades de la matriz fundamental

- La restricción epipolar es simétrica:
  - Todos los resultados dados para la imagen derecha son válidos igualmente para la imagen izquierda (cambiando  $F$  por  $F^T$ )
- Por su propia forma (“contiene” en su factorización una matriz  $[e_2]_x$  antisimétrica, y por tanto de rango 2),  $F$  es deficitaria en rango:
  - $F$  tiene rango 2 (y por tanto, sólo dos valores singulares no nulos), a pesar de ser de 3x3.

# Algoritmo de los 8 puntos (y III)

- Puesto que hemos visto que la  $F$  ha de cumplir la **restricción de tener rango 2...**
- ... y dicha restricción no tiene por qué cumplirla la matriz obtenida por el algoritmo de los 8 puntos...
- ... como último paso del mismo se suele **forzar** dicha condición realizando la SVD de  $F=U \cdot \text{diag}(v_1, v_2, v_3) \cdot V^T$ , (que debe tener un tercer valor singular  $v_3$  cercano a cero)...
- ... y reconstruyendo la  $F$  eliminando dicho  $v_3$ , es decir,  $F_{rank2} = U \cdot \text{diag}(v_1, v_2, 0) \cdot V^T$



# Matriz esencial (I)

- Considérense dos cámaras en posición general, donde a la primera, por comodidad, se la considera alineada con el sistema de coordenadas del mundo ( $R_1=I$ ,  $C_1=(0,0,0)^T$ ), mientras que la otra está en una posición general ( $R_2=R$ ,  $C_2=C$ ):

$$M_1 = K_1 [I | \mathbf{0}] \quad t = -RC$$

$$M_2 = K_2 [R | -RC_2] = [K_2 R | K_2 t]$$

- Puesto que el centro (homogéneo) de  $M_1$  es  $(0,0,0,1)^T$ , el epipolo derecho  $e_2 = M_2(0,0,0,1)^T$ , es decir:

$$e_2 = K_2 t$$

Última columna  
de  $M_2$

# Matriz esencial (II)

- Por otro lado, por la sencilla forma de  $M_1$  se tiene que  $M_1^+ = [I|0]^T K_1^{-1}$ , con lo que:

$$M_2 M_1^+ = K_2 R K_1^{-1}$$

- Según la forma que sabíamos que tenía F:

$$F = [e_2]_{\times} M_2 M_1^+$$

- Resulta ahora que F, en función ya de la calibración de  $M_1$  y  $M_2$ , resulta ser:

$$F = [K_2 \mathbf{t}]_{\times} K_2 R K_1^{-1}$$

$\mathbf{t} = -RC$

# Matriz esencial (III)

- Aprovechando la siguiente propiedad de las matrices *cross product* (que no demostraremos aquí; HZ, apéndice):

Pasar una matriz  $A$   
“a la izquierda” de una  $[v]_{\times}$

$$[v]_{\times} A = A^{-T} [A^{-1} v]_{\times}$$

- ... podemos manipular la expresión anterior para “llevar”  $K_2$  a la izquierda de la expresión

$$F = K_2^{-T} [K_2^{-1} K_2 t]_{\times} R K_1^{-1} = K_2^{-T} [t]_{\times} R K_1^{-1} = K_2^{-T} E K_1^{-1}$$

## Matriz esencial:

- Depende sólo de extrínsecos (R y C)
- 5 gdl (3+3-1 por homogeneidad)

$$E = [t]_{\times} R$$

# Matriz esencial (IV)

- La matriz esencial trabaja con “rayos reales” (puntos de imagen a los que se “deshace” la transformación de imagen usando las inversas de las calibraciones intrínsecas  $K_1$  y  $K_2$ ):

$$F = K_2^{-T} E K_1^{-1}$$

$$x_1^n = K_1^{-1} x_1$$

$$x_2^n = K_2^{-1} x_2$$

$$\boxed{x_2^T F x_1 = 0}$$



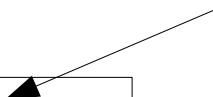
$$\boxed{x_2^{nT} E x_1^n = 0}$$

# Propiedades de la matriz esencial

- Sólo depende de las posiciones relativas entre las cámaras, dadas por  $R$  y  $C$  (y no de  $K_1$  y  $K_2$ ):

Recordar que:

$$t = -RC'$$


$$E = [t]_{\times} R$$

- Al igual que  $F$ , tiene tamaño  $3 \times 3$  y rango 2 (por lo que su tercer valor singular es nulo)...
- ...pero además, en este caso por su forma particular (desaparecen  $K_1$  y  $K_2$ ), sus dos valores singulares no nulos son iguales.

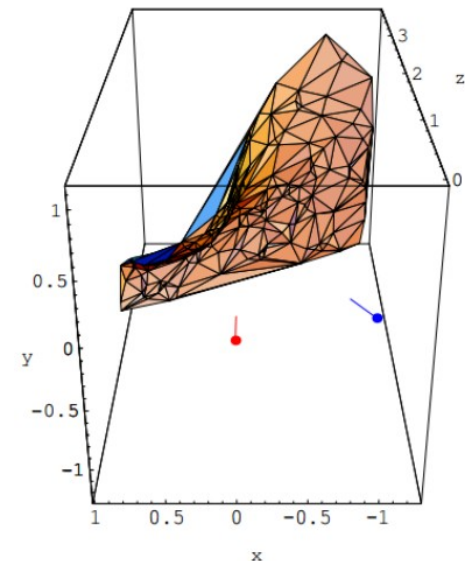
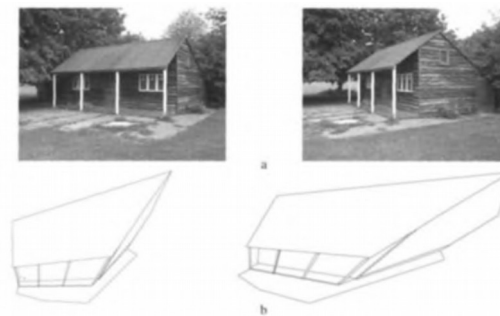
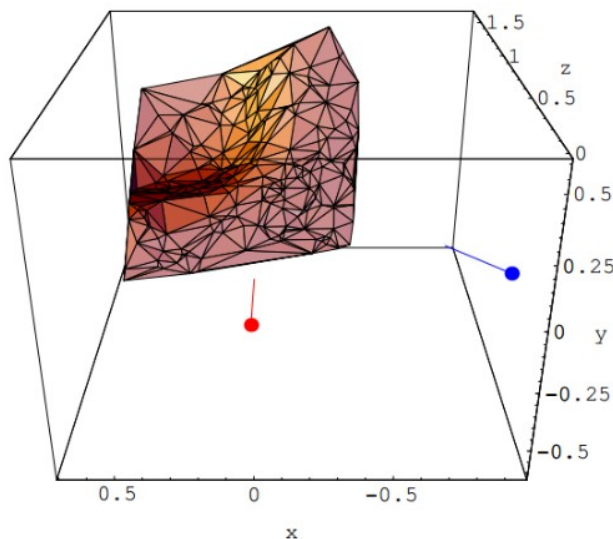
# Ambigüedad proyectiva (I)

- Supongamos que, a partir de una serie de correspondencias entre puntos de dos imágenes ( $\{x_1 \leftrightarrow x_2\}$ ) llegamos a una determinada solución compuesta por dos cámaras  $M_1$  y  $M_2$ , y el correspondiente conjunto de puntos 3D triangulados  $\{X\}$ .
- El problema es que, si dicha solución satisface las ecuaciones de proyección, también lo harán las siguientes matrices  $P_1$  y  $P_2$ , y el conjunto de puntos 3D  $X'$  alternativos (obtenidos con cualquier matriz  $D$  4x4, invertible):

$$\begin{aligned} \mathbf{x}_1 &= M_1 \mathbf{X} = \underbrace{M_1 D}_{P_1} \underbrace{D^{-1} \mathbf{X}}_{X'} = P_1 \mathbf{X}' \\ \mathbf{x}_2 &= M_2 \mathbf{X} = \underbrace{M_2 D}_{P_2} \underbrace{D^{-1} \mathbf{X}}_{X'} = P_2 \mathbf{X}' \end{aligned}$$

# Ambigüedad proyectiva (II)

- Hay **infinitas reconstrucciones** (par de cámaras y conjunto de puntos 3D) consistentes con un par de proyecciones.
  - Podríamos obtenerlas todas ellas simplemente usando las distintas matrices  $D$  4x4 (con  $16-1=15$  gdl).
  - Las matrices  $D$  no son más que homografías 3D, que transforman el espacio de forma similar a como un plano es deformado por una homografía 2D.



# Ambigüedad proyectiva (III)

- **Teorema fundamental de la geometría proyectiva:**
  - Si no se tiene información adicional de calibración...
  - ...sólo a partir de correspondencias entre puntos de dos imágenes se puede obtener una fundamental  $F$ ...
  - ...y a partir de ella una reconstrucción 3D...
  - ...PERO siempre tendremos la mencionada ambigüedad proyectiva.
- Sin embargo, conociendo la calibración de las cámaras ( $K_1$  y  $K_2$ ), es posible obtener una **reconstrucción 3D similar**:
  - Donde la única ambigüedad sería la escala global del conjunto escena-cámaras:
    - “París vs. maqueta de París”



# Autocalibración (I)

- Es importante, pues, disponer de la calibración:
  - Si la conocemos a priori, OK
  - ¿Y si no? → **procedimientos de autocalibración.**
- Múltiples posibilidades, pero casi todas basadas en la manipulación algebraica de las matrices de cámara / homografías para “cancelar” rotaciones aprovechando propiedad  $R \cdot R^T = R^T \cdot R = I$
- Utilizaremos las siguientes matrices de conveniencia para, introduciéndolas en las expresiones, lograr dichas cancelaciones:

$$\omega = K^{-T} K^{-1} \quad \omega^* \equiv \omega^{-1} = K K^T$$

- ... y obtener así ecuaciones para sus coeficientes y, a partir de ellos, extraer las matrices de calibración.

# Autocalibración (II)

- Así pues, resolviendo  $\mathbf{w}$ , y sabiendo que:

$$\boldsymbol{\omega} = \mathbf{K}^{-\top} \mathbf{K}^{-1}$$

- $\mathbf{K}$  puede entonces obtenerse a partir de la **descomposición de Cholesky** de  $\mathbf{w}$  (invirtiendo la  $\mathbf{K}^{-1}$  así obtenida):
- Recordemos que:
  - La descomposición de Cholesky de una matriz real simétrica y definida positiva  $\mathbf{A}$  se define como  $\mathbf{A} = \mathbf{L}^{\top} \mathbf{L}$ , con  $\mathbf{L}$  una matriz triangular superior.
  - La inversa de una matriz triangular superior con diagonal no nula siempre existe, y es a su vez siempre otra matriz triangular superior.

# Autocalibración (III)

- Diversas simplificaciones de cámara de las comúnmente empleadas (recordar tema anterior), surgen distintas matrices  $\mathbf{w}$  (o bien  $\mathbf{w}^*$ ) simplificadas, cada vez con menos *gdl*:

$$\mathbf{K} = \begin{bmatrix} f & 0 & o_x \\ 0 & fr & o_y \\ 0 & 0 & 1 \end{bmatrix} \rightarrow \mathbf{w} = \begin{bmatrix} a & 0 & c \\ 0 & b & d \\ c & d & 1 \end{bmatrix}$$

$$\mathbf{K} = \begin{bmatrix} f & 0 & 0 \\ 0 & fr & 0 \\ 0 & 0 & 1 \end{bmatrix} \rightarrow \mathbf{w} = \begin{bmatrix} a & 0 & 0 \\ 0 & b & 0 \\ 0 & 0 & 1 \end{bmatrix}$$

$$\mathbf{K} = \mathbf{K}_f = \begin{bmatrix} f & 0 & 0 \\ 0 & f & 0 \\ 0 & 0 & 1 \end{bmatrix} \rightarrow \mathbf{w} = \begin{bmatrix} a & 0 & 0 \\ 0 & a & 0 \\ 0 & 0 & 1 \end{bmatrix}$$

# Autocalibración mediante planos (I)

- Primera posibilidad: calibrar mediante **homografías plano-imagen**:
  - Sabemos (tema anterior) que cualquier  $H$  plano-imagen tenía la forma:

$$H = K[\hat{R}|\mathbf{t}]$$

(es decir, sus dos primeras columnas son ortogonales)

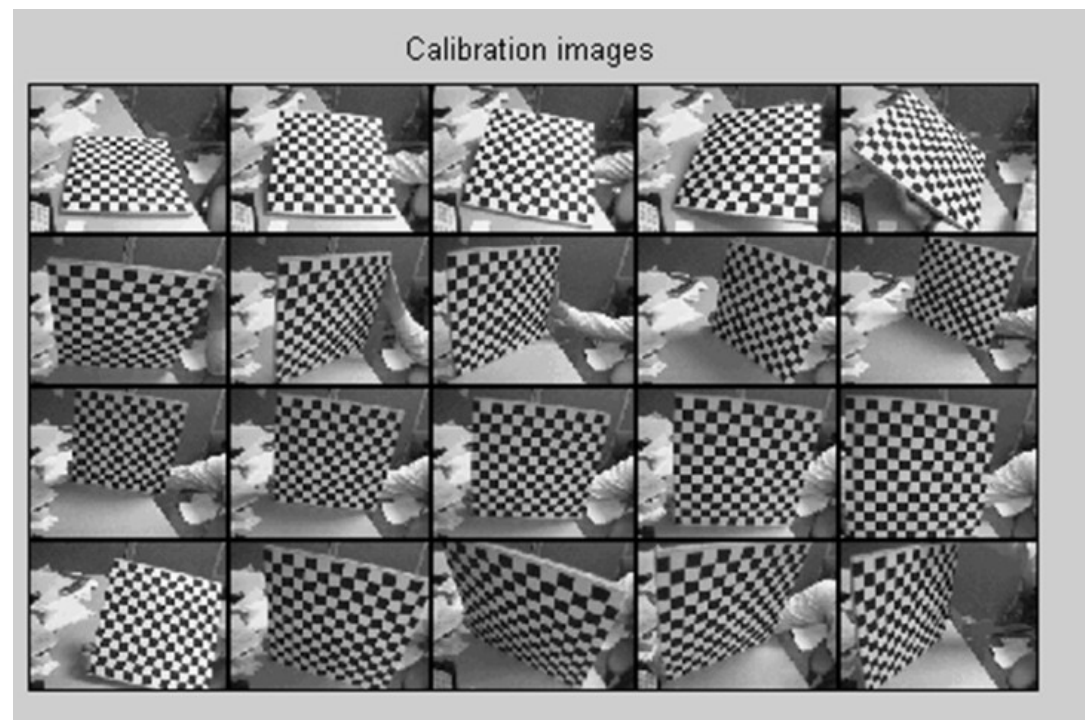
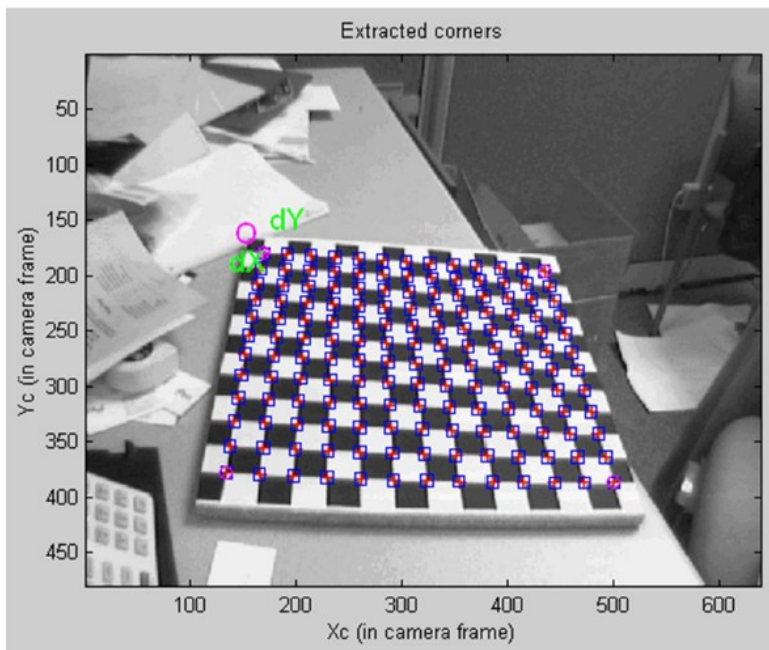
- Entonces, dado que  $\omega = K^{-T}K^{-1}$ , sabemos que:

$$H^T \omega H = \begin{bmatrix} \lambda & 0 & ? \\ 0 & \lambda & ? \\ ? & ? & ? \end{bmatrix}$$

- De cada plano, pues, podemos obtener 2 restricciones lineales sobre  $\mathbf{w}$ : una igualando el elemento (1,2) de  $H^T \mathbf{w} H$  a cero, y la otra igualando los elementos 1,1 y (2,2). Juntando las necesarias (según los gdl de  $\mathbf{w}$  para nuestras suposiciones de cámara), podremos obtener nuestra  $K$ .

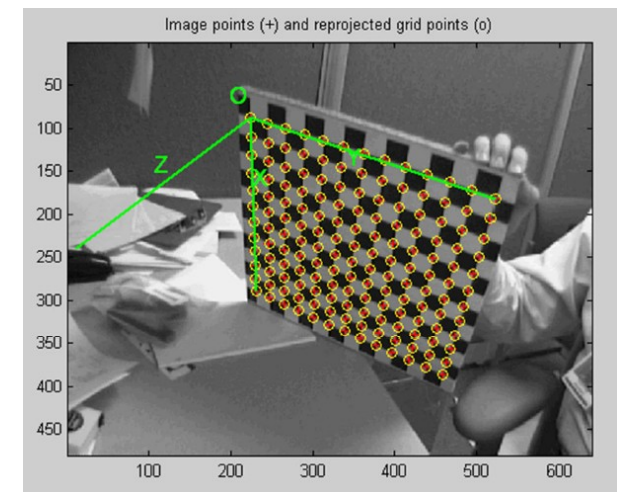
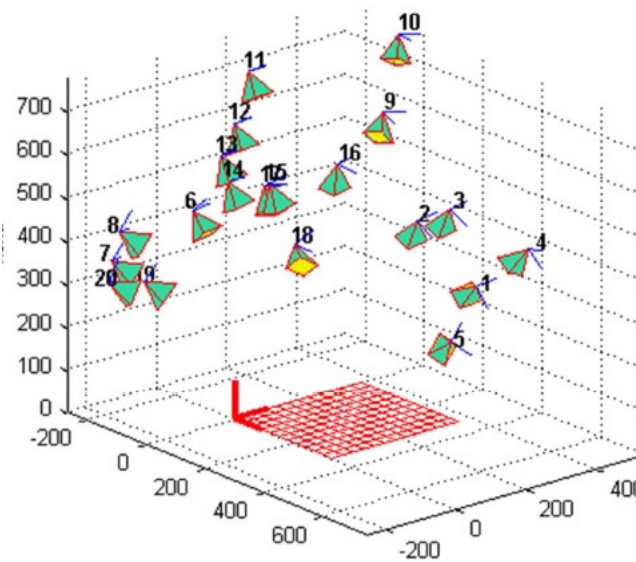
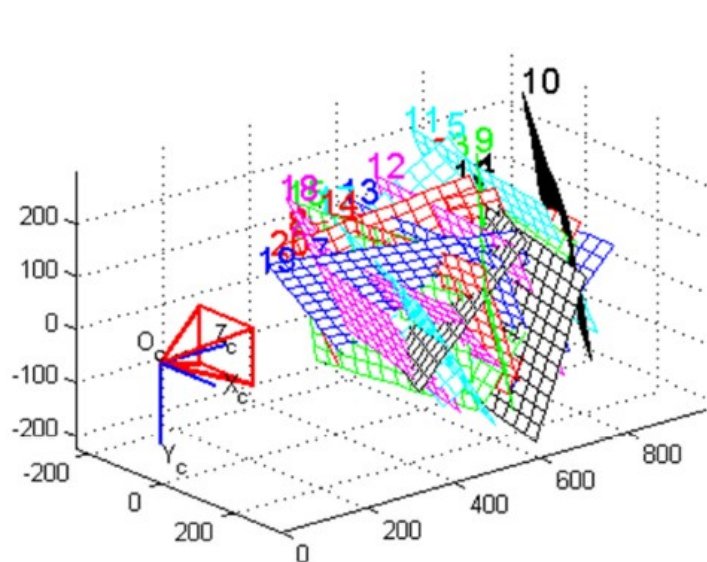
# Autocalibración mediante planos (II)

- Ejemplo típico de calibración de cámara (p.e., aplicación disponible en la OpenCV).
- Se mueve un plano con un patrón de calibración delante de la cámara, y se toman varias imágenes:



# Autocalibración mediante planos (III)

- Con dichas homografías, se obtiene primero la  $K$  a través de las ecuaciones obtenidas para  $w$ .
- Naturalmente, después se puede recuperar la  $R$  y la  $C$  de la cámara respecto al plano en cada imagen, y reprojectar el patrón y/o hacer realidad aumentada:





# Autocalibración mediante rotaciones

- Segunda posibilidad: usar la **homografía inducida entre dos imágenes por una rotación de cámara**:

- Si recordamos la forma de dicha  $H$  (tema anterior):

$$H = KRK^{-1}$$

- Podemos volver a usar  $\omega = K^{-T}K^{-1}$  para obtener ahora ecuaciones de la forma  $H^T \omega H = \omega$ :

$$H^T \omega H = K^{-T} R^T K^T K^{-T} K^{-1} KRK^{-1} = K^{-T} K^{-1} = \omega$$

- De nuevo, con suficientes de ellas podremos despejar el número de incógnitas necesario para la forma de  $w$  de nuestra cámara, y a partir de ahí obtener la  $K$  por Cholesky.
- Nota: podemos forzar  $\det(H)=1$  para “deshomogeneizar” la igualdad.

# Autocalibración mediante fundamentales

- También está la tercera posibilidad de usar la forma estudiada para la matriz fundamental,  $F = [e_2]_{\times} K R K^{-1}$ :

$$F \omega^* F^T = [e_2]_{\times} K R K^{-1} K K^T K^{-T} R^T K^T [e_2]_{\times}^T = [e_2]_{\times} \omega^* [e_2]_{\times}^T$$

- Sin embargo, lamentablemente aquí no es posible eliminar la homogeneidad de forma sencilla:

$$F \omega^* F^T = \lambda [e_2]_{\times} \omega^* [e_2]_{\times}$$

- ... y eso nos lleva a ecuaciones NO lineales, no tan simples de resolver (**ecuaciones de Kruppa**).



# Autocalibración mediante ecualización de SVD de E

- Una posibilidad alternativa, bastante sencilla, consiste en suponer una cámara “diagonal”:

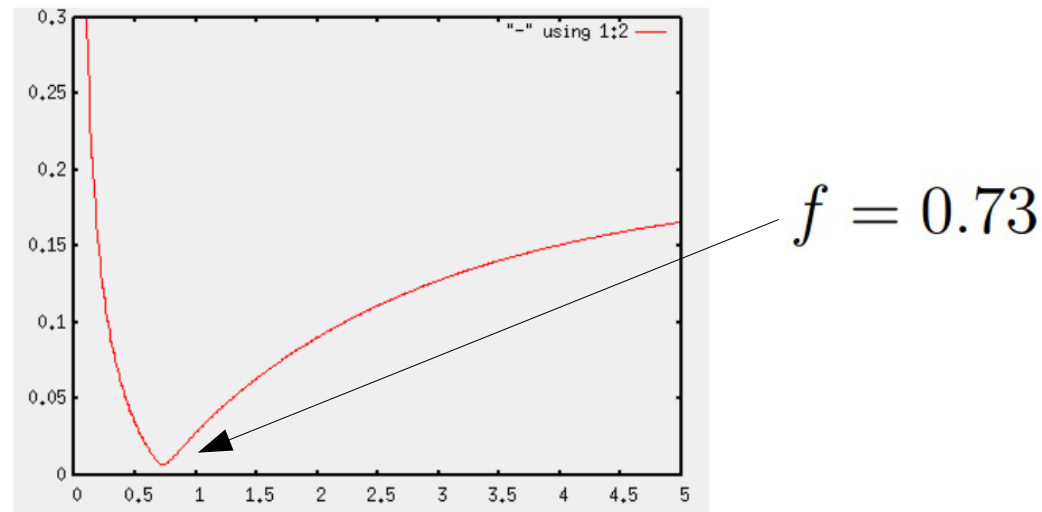
$$K_f = \begin{bmatrix} f & 0 & 0 \\ 0 & f & 0 \\ 0 & 0 & 1 \end{bmatrix}$$

- Y explotar el hecho de que la matriz esencial  $E = [t]_{\times} R$  tiene **IGUALES** sus dos valores singulares no nulos.
- Entonces, variando  $f$ , podemos calcular para cada matriz  $E = K^T F K$  resultante, un “*factor de discrepancia*” entre sus dos primeros valores singulares,  $s_1$  y  $s_2$ :

$$d = \frac{s_1 - s_2}{s_1 + s_2}$$

# Calibración mediante ecualización de SVD de E

- Sólo queda buscar el mínimo de dicho factor de discrepancia al variar la  $f$ :



- Estos son los valores de  $F$  y la  $E$  para este ejemplo:

$$F = \begin{bmatrix} 0.208 & 0.113 & -0.337 \\ 0.144 & -0.128 & -0.574 \\ 0.366 & 0.573 & 0.043 \end{bmatrix}$$

$$E = \begin{bmatrix} 0.155 & 0.082 & -0.346 \\ 0.107 & -0.094 & -0.591 \\ 0.371 & 0.582 & 0.061 \end{bmatrix}$$

$$\underline{s1=0.727, s2=0.687}$$

$$\underline{s1=0.7073, s2=0.7069}$$

# Extracción de cámaras

- Una vez que se conocen  $K$ ,  $K'$  (autocalibración) y  $F$  (alg. 8 puntos), el procedimiento para extraer la  $R$  y la  $C$  entre ellas es cerrado (demostración en HZ):

- Calculamos  $E = K^T F K'$
- Hacemos su SVD:  $(U, \_, V) = \text{svd}(E)$

- Y definiendo

$$W = \begin{bmatrix} 0 & 1 & 0 \\ -1 & 0 & 0 \\ 0 & 0 & 1 \end{bmatrix}$$

- Obtenemos ambas cámaras (incluso debidamente factorizadas, e.d. sabiendo sus extrínsecos e intrínsecos):

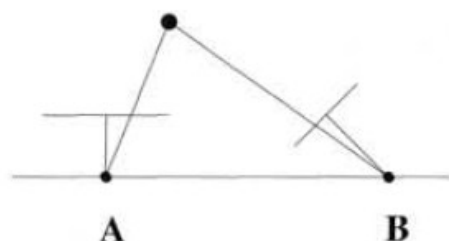
$$M = K \begin{bmatrix} 1 & 0 & 0 & 0 \\ 0 & 1 & 0 & 0 \\ 0 & 0 & 1 & 0 \end{bmatrix} \quad M' = K' [UAV^T | \pm U_3]$$

$\swarrow$  Rotación  $R$   
 $\nwarrow$   $C = \text{espacio nulo de } M'$

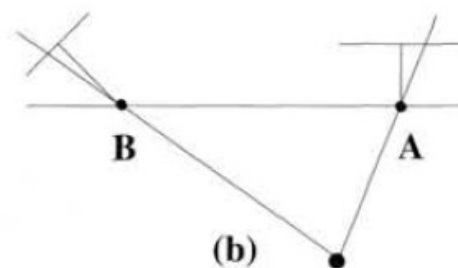
$A = W \text{ o } W^T, \text{ y } \pm U_3 \rightarrow$   
**4 posibles  $M'$**

# Extracción de cámaras

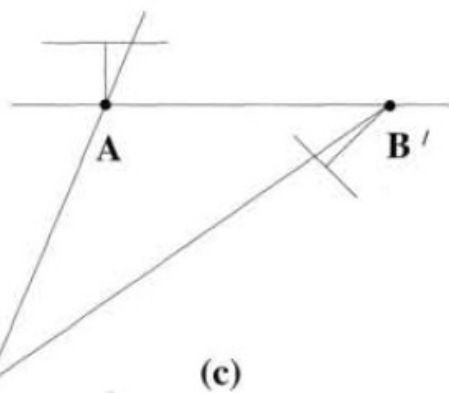
- 4 posibles  $M'$  (Hartley & Zisserman, 2003):



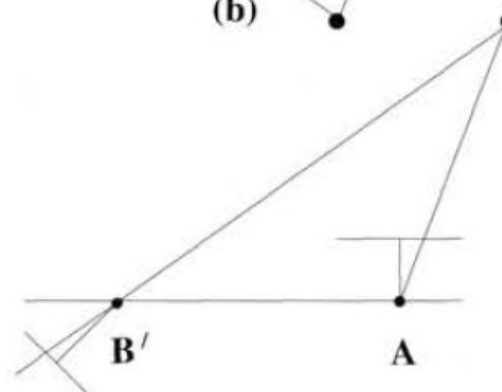
(a)



(b)



(c)

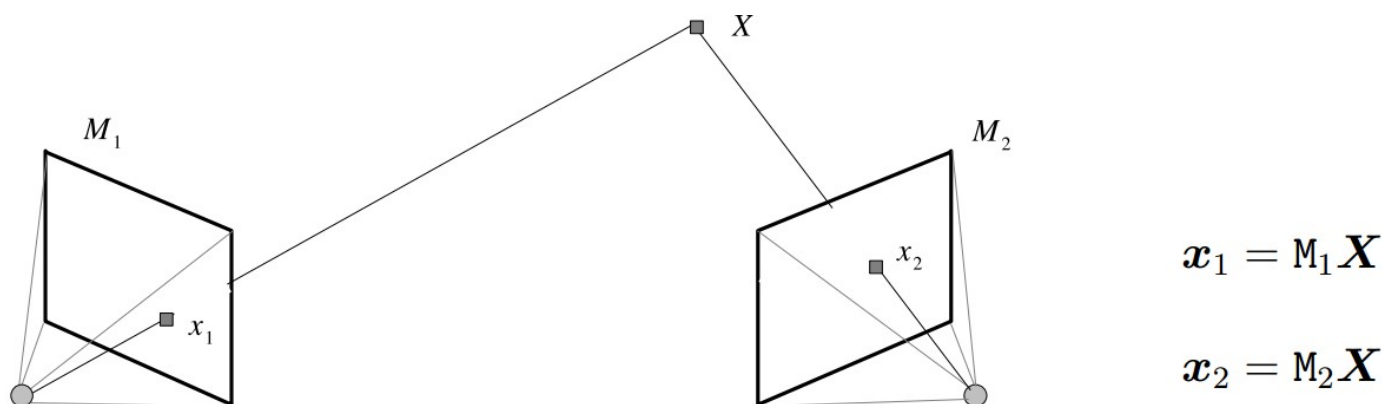


(d)

Fig. 9.12. The four possible solutions for calibrated reconstruction from  $E$ . Between the left and right sides there is a baseline reversal. Between the top and bottom rows camera  $B$  rotates  $180^\circ$  about the baseline. Note, only in (a) is the reconstructed point in front of both cameras.

# Triangulación (I)

- Una vez conocida la posición relativa entre las cámaras, sólo queda recuperar la posición de un punto dadas sus proyecciones en las imágenes:



- Conocidos los coeficientes de  $M_1$ ,  $M_2$ ,  $x_1$  y  $x_2$ , se puede plantear fácilmente un sistema lineal para determinar  $X$  (al estilo de como se hacía para la estimación de una homografía  $H$ ). Lo veremos a continuación.

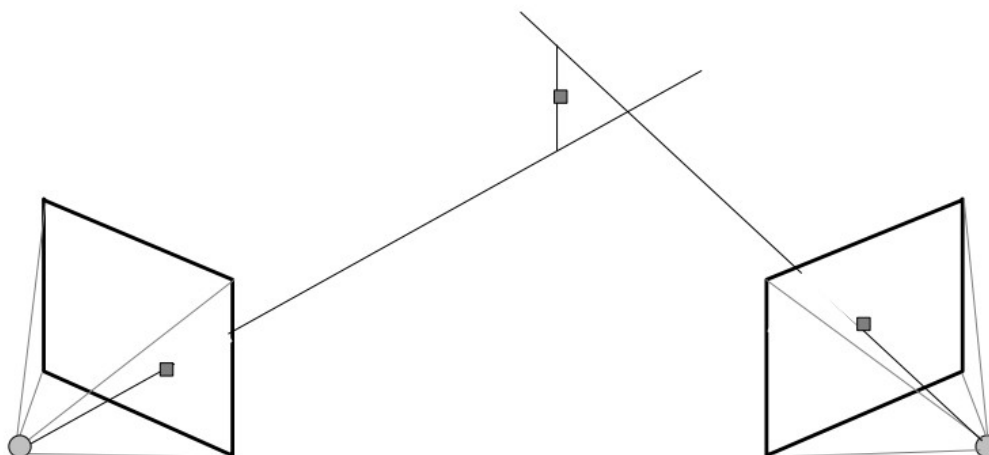
# Triangulación (II)

- Por ambas igualdades homogéneas, tenemos que, para cada punto  $x_1 \times M_1 X = 0$  y  $x_2 \times M_2 X = 0$  .
- Cada ecuación vectorial anterior se corresponde con 3 ecuaciones, sólo 2 de ellas independientes. Eso hace un total de 4 ecuaciones independientes por punto, suficiente para las 3 incógnitas (posición 3D del punto).
- La matriz de coeficientes que sale es la siguiente, donde  $m^i$  es la fila  $i$  de la matriz  $M_1$ , ídem para  $m'^i$  de  $M_2$ , y  $x_1=(x,y,1)$  y  $x_2=(x',y',1)$

$$A_{4 \times 4} = \begin{pmatrix} x m^3 - m^1 \\ y m^3 - m^2 \\ x' m'^3 - m'^1 \\ y' m'^3 - m'^2 \end{pmatrix}$$

# Triangulación (III)

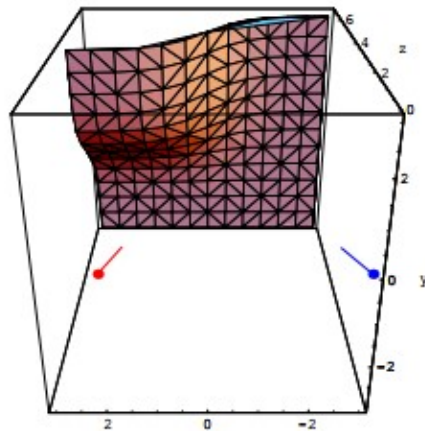
- Con ligero *ruido* de píxeles, en la triangulación no tienen por qué coincidir exactamente los rayos “retroproyectados”:



- → Solución por **mínimos cuadrados** al sistema  $A \cdot (X, Y, Z, W)^T = 0$ . Es decir, de nuevo nos quedamos con el vector correspondiente al menor valor singular de  $A$  (o vector propio de  $A^T A$ ). *De todos modos*, el error minimizado es “algebraico”, no estrictamente “geométrico”).
- $(X/W, Y/W, Z/W)$  es nuestro punto 3D triangulado.

# Triangulación (IV)

- Ejemplo:



Superficie original y  
posición de las cámaras:

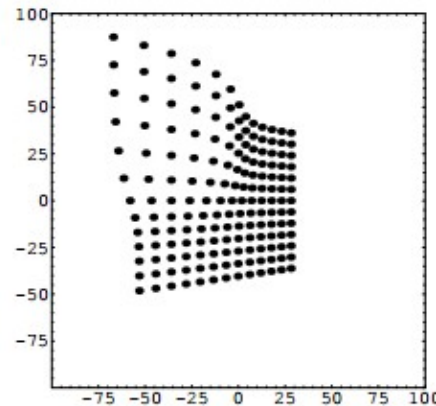


Imagen izquierda

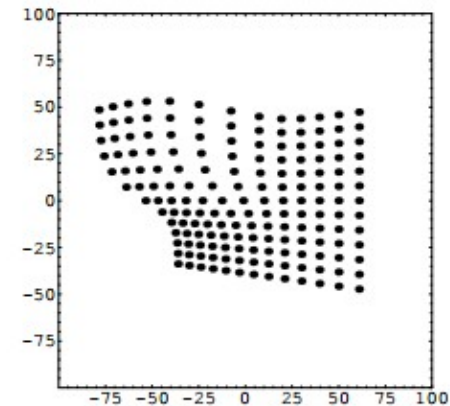
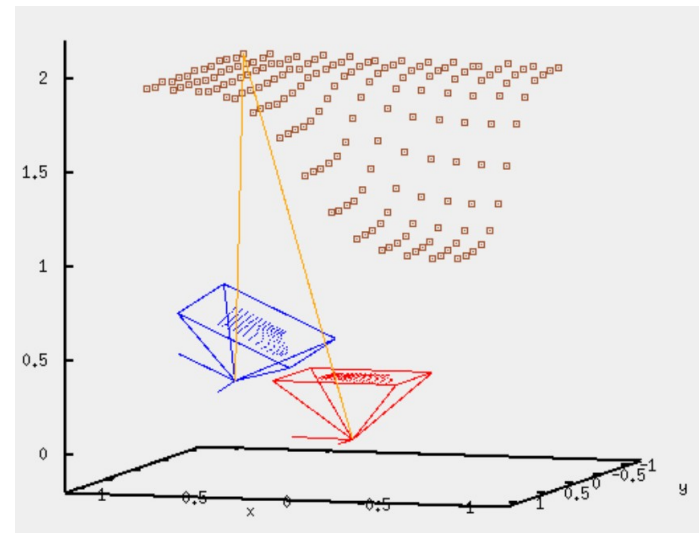


Imagen derecha

Reconstrucción obtenida  
tras la obtención de las  
cámaras y la posterior  
triangulación

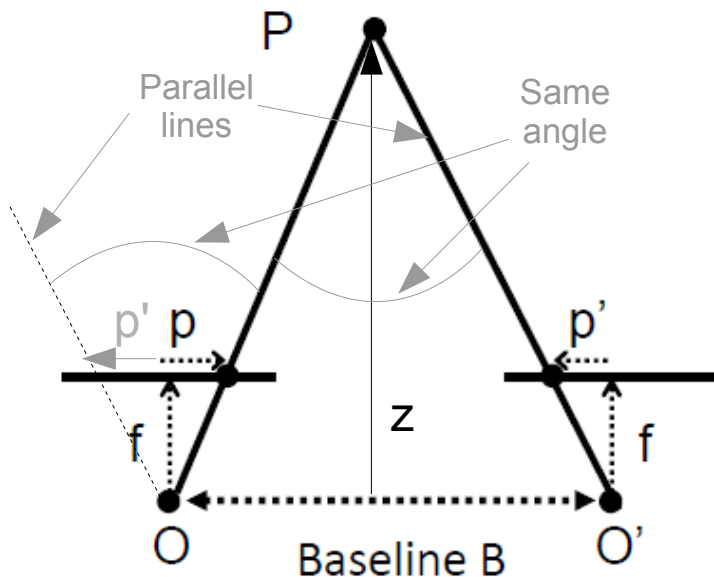




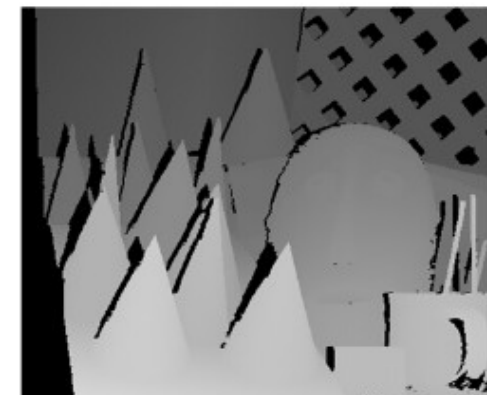
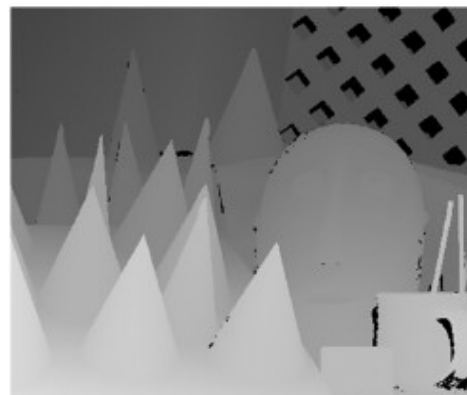
# Reconstrucciones densas

- **Disparidad:**

- Inversamente proporcional a *profundidad*.
- Directamente proporcional a la focal y la distancia entre cámaras:

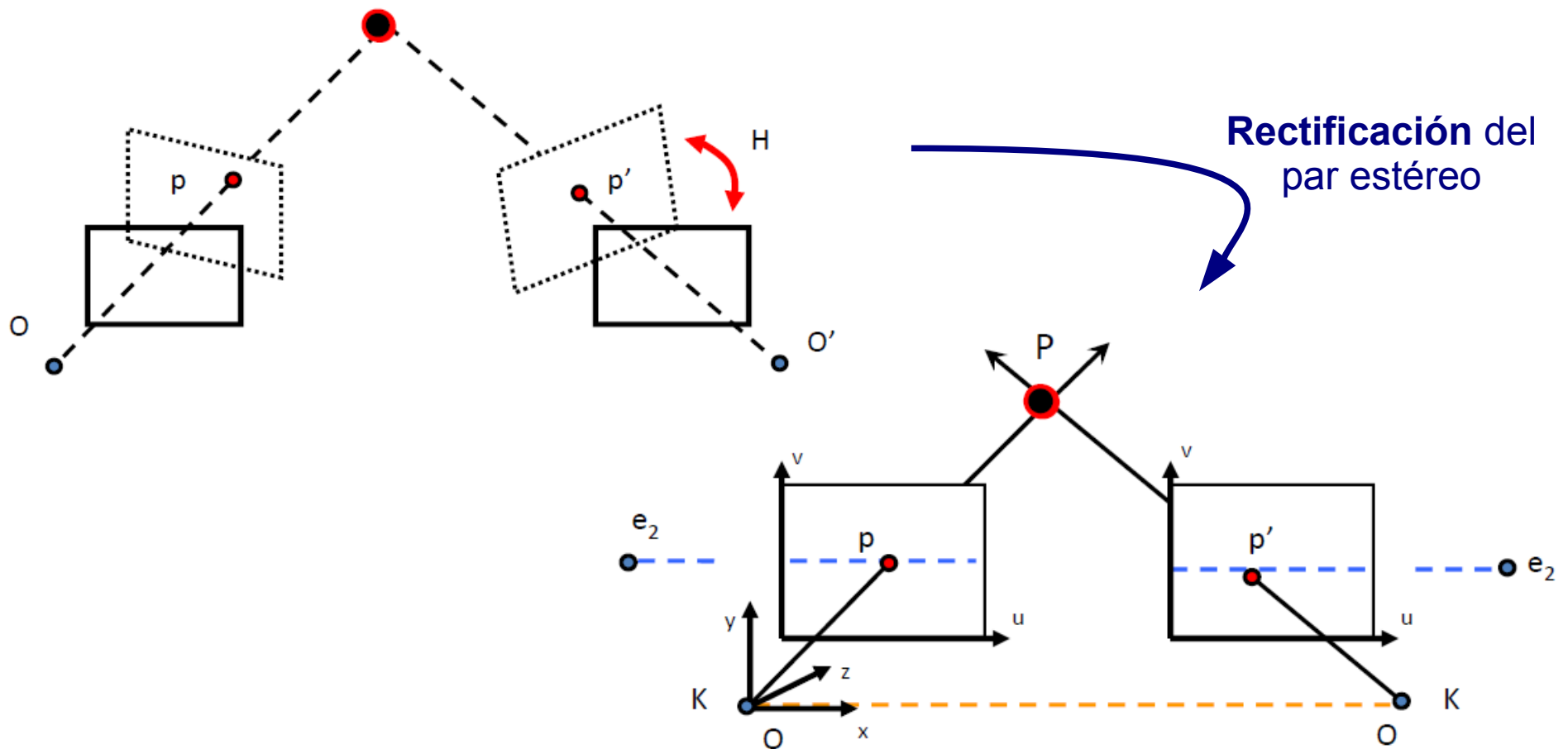


$$p - p' = \frac{B \cdot f}{z} = \text{disparity}$$



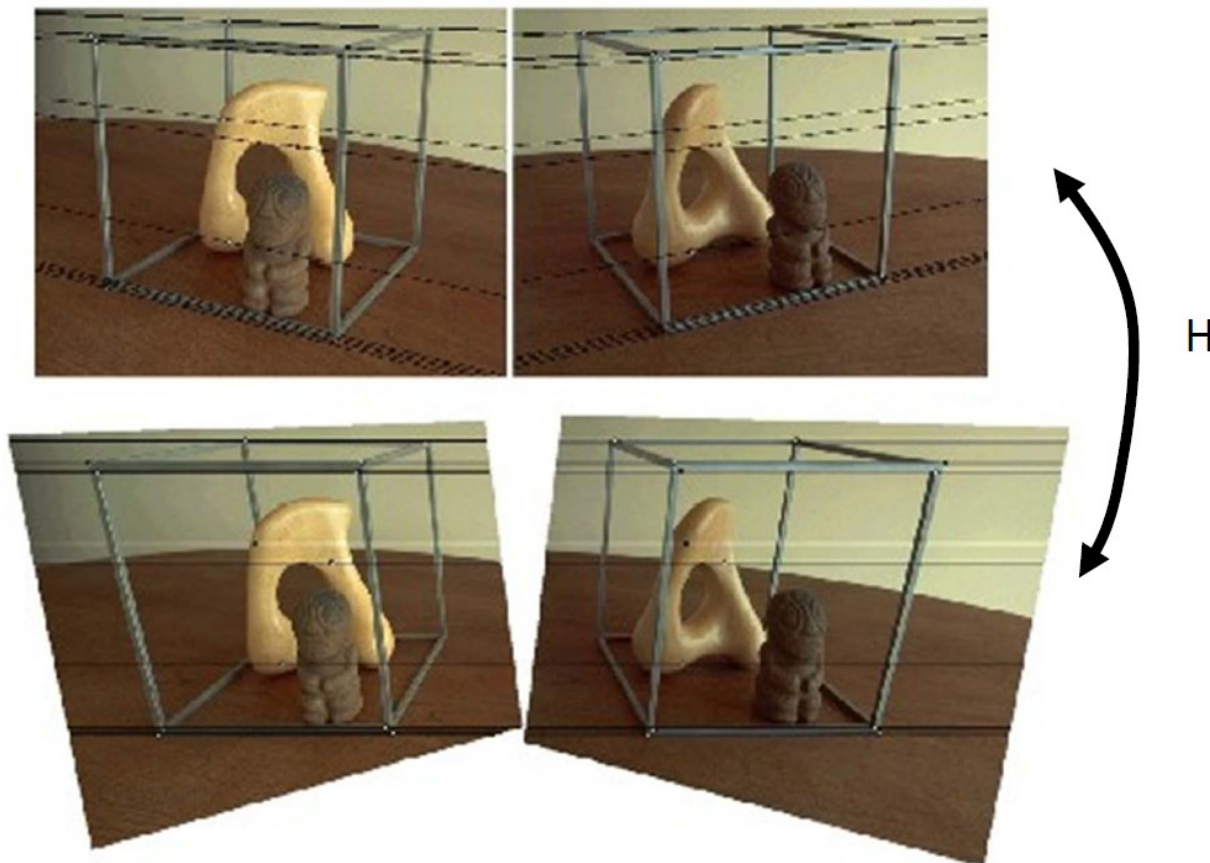
# Rectificación

- Proceso previo para hacer las imágenes del par estéreo “paralelas”:
  - Líneas epipolares paralelas (epipolos en el infinito)



# Ejemplo de rectificación de par estéreo

- Observar que, tras la rectificación, las correspondientes líneas epipolares son horizontales y están alineadas en ambas imágenes → más fácil hacer *matching* y calcular disparidad:

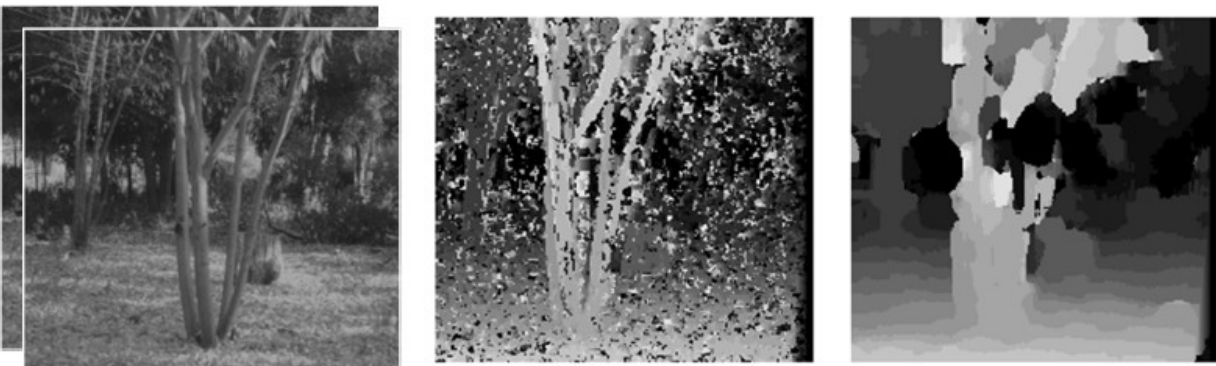
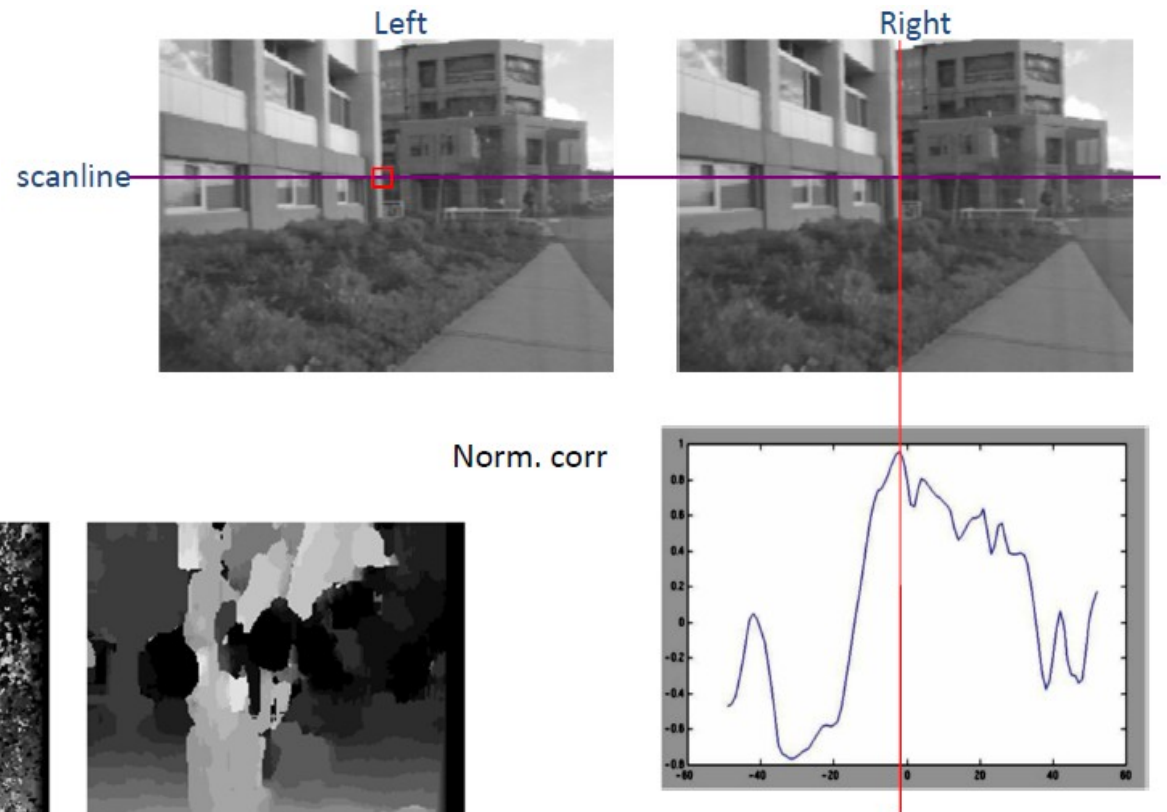


# Rectificación par estéreo

- **Pasos a realizar** (a grandes rasgos):
  - Computar epipolos.
  - Girar ambas imágenes para “enviarlos”, primero, al eje X.
  - “Enviar” a continuación ambos epipolos al infinito.
  - Finalmente, encontrar también una transformación que ponga en la misma línea (=Y) líneas epipolares correspondientes, y que en el eje X minimice la disparidad.
  - Al final se obtienen sendas homografías  $H_1$  y  $H_2$  que hacen el trabajo.
  - Detalles de cómputo concreto en sección 11.12 de [HZ].<sup>44</sup>

# Método de correlación (I)

- Calcular correlación al desplazar una ventana de píxeles a lo largo de toda la correspondiente línea epipolar.
- Influye tamaño de ventana (más pequeña → más detalle, pero más ruido).





# Método de correlación (II)

- Problemas con regiones homogéneas, o patrones repetitivos:



# Método de correlación (III)

- Ejemplo de resultados obtenidos con correlación simple:

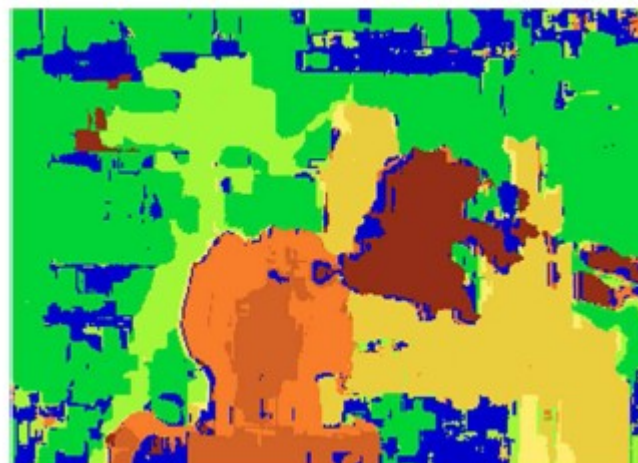
Imagen original  
(izquierda)



Mapa de  
profundidad  
“ground truth”



Mapa de  
profundidad  
obtenido



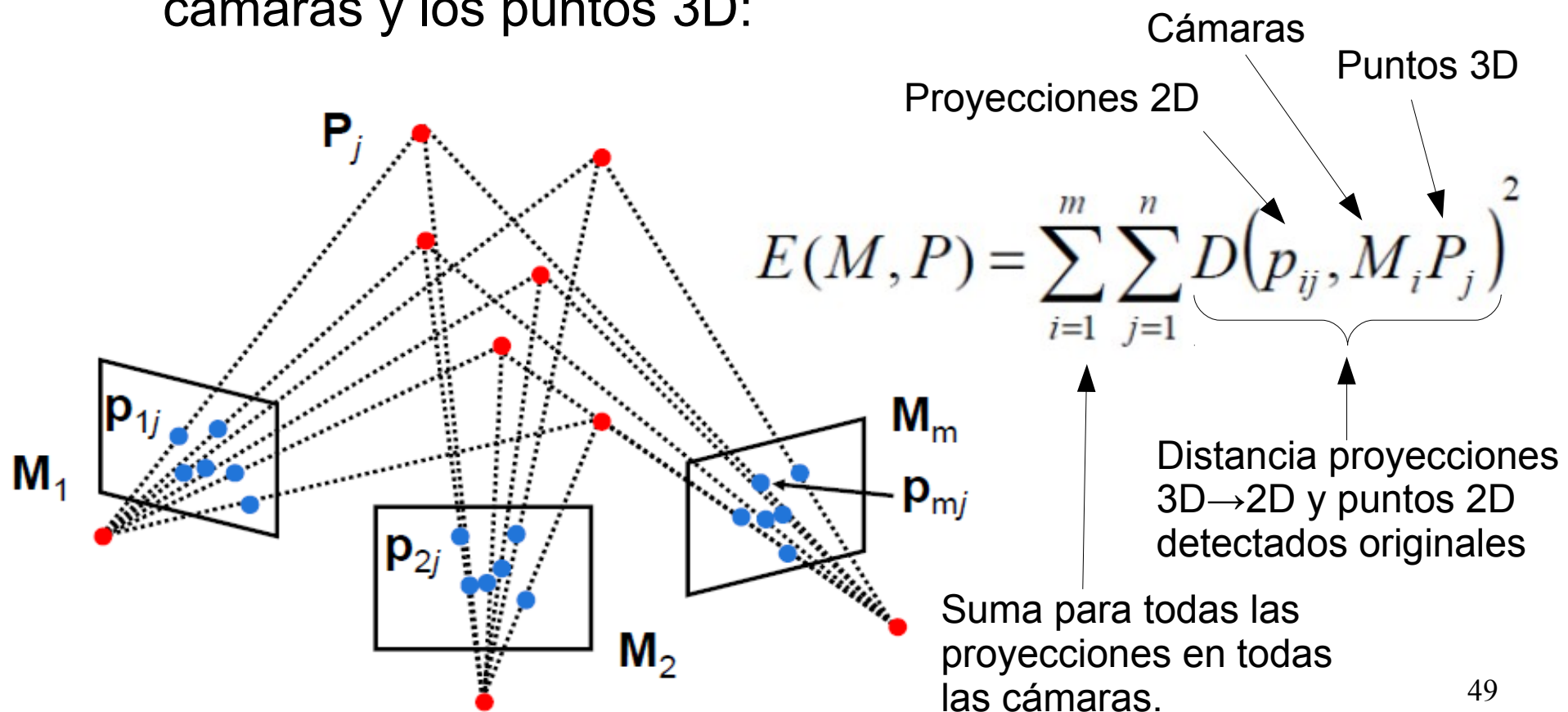
# Múltiples vistas (I)

- El *paso final*: las múltiples vistas...
  - Proceso iterativo:
    - Con un par de vistas, reconstrucción inicial (dos cámaras + conjunto puntos 3D).
    - Con una tercera vista, reseccionar la cámara correspondiente, y seguramente añadir puntos 3D adicionales.
    - Iterar de forma similar con más vistas.
  - Finalmente, *bundle adjustment* (BA, o “ajuste de rayos”):
    - Minimización (no lineal) de una función que depende de todas las cámaras y los puntos 3D...



# Múltiples vistas (II)

- *Bundle adjustment* (ajuste de rayos):
  - Minimización (no lineal) de la función “suma de todos los errores de reproyección”, que depende de todas las cámaras y los puntos 3D:



# Algunos vídeos ilustrativos

- Structure from motion pipeline:
  - <https://www.youtube.com/watch?v=i7ierVkXYa8>
- Proyecto LOCUM AR:
  - <https://www.youtube.com/watch?v=qycdlROrtXE>
- Structure from motion revisited:
  - <https://www.youtube.com/watch?v=Gb086k7b0wg>
- Software abierto: Visual SfM + CMVS:
  - <https://www.youtube.com/watch?v=wBKidr0e-XA>
- VisualSfM & Meshlab workflow (practical example):
  - <https://www.youtube.com/watch?v=GEAbXYDzUjU>

# Bibliografía básica

- "*Multiple view geometry*" (2nd ed.), R. Hartley, A. Zisserman (2003), Cambridge University Press.
- "*Tutorial on 3D Modeling from Images*", M. Pollefeys (2000).
- "*Apuntes de Sistemas de Percepción y Visión por Computador*", A. Ruiz (2015).  
(<http://dis.um.es/profesores/alberto/material/percep.pdf>)